





この  $D_r$  を用いると式(15),(16)から

$$B = A \cdot e^{2ikl} \sum_{r=0}^{\infty} \frac{1+i \frac{r\pi}{kh} \cdot \tanh \frac{r\pi l}{h}}{1 + \left(\frac{r\pi}{kh}\right)^2} \quad \dots \dots \dots (26)$$

式(19)から

$$C_n = 2A \cdot \frac{N}{N_n} \cdot e^{(ik+k_n)l} \sum_{r=0}^{\infty} \frac{K(r)}{1 - \left(\frac{r\pi}{k_n h}\right)^2} \quad \dots \dots \dots (27)$$

かくして速度ポテンシャル  $\phi_1, \phi_2$  はつきのようである。

$$\begin{aligned} \phi_1(x, z; t) &= Ae^{i\sigma t} \left[ \left\{ e^{ikx} + e^{-ik(x-l)} \sum_{r=0}^{\infty} \frac{K(r)}{1 + \left(\frac{r\pi}{kh}\right)^2} \right. \right. \\ &\quad \cdot \left. \left. \left( 1 + i \frac{r\pi}{kh} \tanh \frac{r\pi l}{h} \right) \right\} \cdot \frac{\cosh k(z+h)}{\cosh kh} + 2N \right. \\ &\quad \cdot e^{ikl} \sum_{n=1}^{\infty} \sum_{r=0}^{\infty} \frac{K(r)}{1 - \left(\frac{r\pi}{k_n h}\right)^2} \cdot \frac{e^{-k_n(x-l)}}{N_n} \cdot \frac{\cos k_n(z+h)}{\cos k_n h} \left. \right] \end{aligned} \quad \dots \dots \dots (28)$$

$$\begin{aligned} \phi_2(x, z; t) &= 2A \cdot N \cdot e^{i(kl+\sigma t)} \\ &\quad \cdot \sum_{r=0}^{\infty} \frac{K(r)}{\cosh r\pi l} \cdot \cosh \frac{r\pi x}{h} \cdot \cos \frac{r\pi z}{h} \end{aligned} \quad \dots \dots \dots (29)$$

入射波の水面波形

$$\zeta_i = a \sin(kx + \sigma t) \quad \dots \dots \dots (30)$$

とすれば

$$A = \frac{g}{\sigma} \cdot a \quad \dots \dots \dots (31)$$

であり、式(28),(29)の実数部分が求める速度ポテンシャルである。

#### 4. 波圧その他

上述の速度ポテンシャルを用いて波圧その他を計算するときのようである。

##### (1) 反射率 $K_r$

式(26)から

$$K_r = \left| \frac{B}{A} \right| = \left| \sum_{r=0}^{\infty} \frac{1+i \frac{r\pi}{kh} \cdot \tanh \frac{r\pi l}{h}}{1 + \left(\frac{r\pi}{kh}\right)^2} \cdot K(r) \right| \quad \dots \dots \dots (32)$$

これは式(24)の第1式の左辺の共軛値を与えるものであるから、当然1である。すなわち  $K_r \equiv 1$  となる。これはエネルギー損失を考慮しない取扱いの当然の帰結である。

##### (2) 波 壓

領域IIにおける流体内の圧力は静水圧を除くと、式(29)からつきのようになる。

$$\begin{aligned} p &= -\rho \frac{\partial \phi_2}{\partial t} = -2A \cdot \rho \cdot N \cdot i \sigma e^{i(kl+\sigma t)} \\ &\quad \cdot \sum_{r=0}^{\infty} \frac{K(r)}{\cosh r\pi l} \cdot \cosh \frac{r\pi x}{h} \cdot \cos \frac{r\pi z}{h} \end{aligned}$$

$$= -2i\rho ga \cdot N \cdot e^{i(kl+\sigma t)} \sum_{r=0}^{\infty} \frac{K(r)}{\cosh \frac{r\pi l}{h}} \quad \dots \dots \dots (33)$$

水平板に作用する波圧力(揚圧力)  $p_u$  は上式で  $z=0$  とおいて

$$p_u = -2i\rho ga \cdot N \cdot e^{i(kl+\sigma t)} \sum_{r=0}^{\infty} \frac{K(r)}{\cosh \frac{r\pi l}{h}} \cdot \cosh \frac{r\pi x}{h} \quad \dots \dots \dots (34)$$

全圧力  $P_u$  は

$$\begin{aligned} P_u &= \int_0^l p_u dx = -2i\rho ga \cdot N \cdot l \cdot e^{i(kl+\sigma t)} \\ &\quad \cdot \left( K(0) + \sum_{r=1}^{\infty} \frac{h \cdot K(r)}{r\pi l} \tanh \frac{r\pi l}{h} \right) \end{aligned} \quad \dots \dots \dots (35)$$

岸壁の鉛直面に作用する圧力  $p_h$  は式(33)で  $x=0$  とおくと、

$$p_h = -2i\rho ga \cdot N \cdot e^{i(kl+\sigma t)} \sum_{r=0}^{\infty} \frac{K(r)}{\cosh \frac{r\pi l}{h}} \cdot \cos \frac{r\pi z}{h} \quad \dots \dots \dots (36)$$

全圧力  $P_H$  は

$$P_H = -2i\rho ga \cdot h \cdot N \cdot K(0) \cdot e^{i(kl+\sigma t)} \quad \dots \dots \dots (37)$$

##### (3) 水面変動

水平板の前端  $x=l$  における水面変動  $\zeta_{x=l}$  は式(28)からつきのようになる。

$$\begin{aligned} \zeta_{x=l} &= -aie^{i(kl+\sigma t)} \left[ 1 + \sum_{r=0}^{\infty} \frac{1+i \frac{r\pi}{kh} \tanh \frac{r\pi l}{h}}{1 + \left(\frac{r\pi}{kh}\right)^2} \right. \\ &\quad \cdot K(r) + 2N \cdot \sum_{r=0}^{\infty} \sum_{n=1}^{\infty} \frac{K(r)}{N_n \left\{ 1 - \left(\frac{r\pi}{k_n h}\right)^2 \right\}} \left. \right] \end{aligned} \quad \dots \dots \dots (38)$$

#### 5. 計算結果

式(9),(10)により  $\sigma^2 h/g = 0.1, 0.5, 1.0$  および 1.5 に対する  $kh$  および  $k_n h$  を計算すると表-1 のようである。

$k_n h$  の値は式(10)からわかるように  $n$  が大きくなると、 $n\pi$  に近づき

$$k_n h \rightarrow n\pi - \frac{1}{n\pi} \cdot \frac{\sigma^2 h}{g}$$

となるから式(28)の右辺第2項は  $r=n$  のとき大きい値となるが、

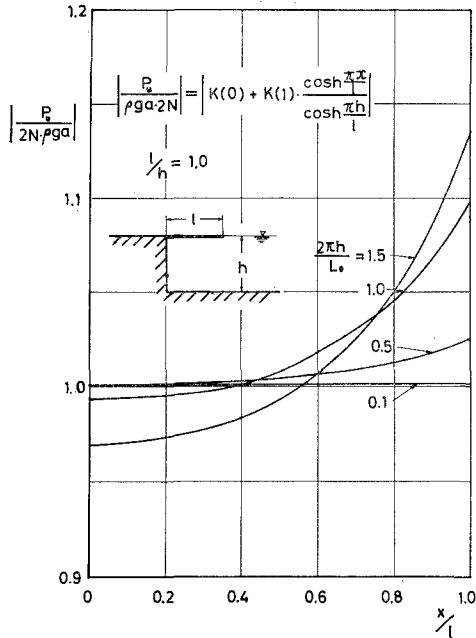
表-1  $\sigma^2 h/g$  に対する  $k_n h$  の値

$\sigma^2 h/g$	0.1	0.5	1.0	1.5
$kh$	0.3216	0.7717	1.1997	1.6218
$k_1 h$	3.1094	2.9751	2.7984	2.6219
$k_2 h$	6.2672	6.2027	6.1212	6.0398
$k_3 h$	9.4141	9.3715	9.3179	9.2642
$k_4 h$	12.5584	12.5265	12.4864	12.4464

表-2  $\sigma^2 h/g$  と  $l/h$  に対する  $K(r)$  の値

$l/h$	$\sigma^2 h/g$	0.10	0.50	1.0	1.5
0.1	$K(0)$	$0.99982 + 0.0006479 i$	$0.99474 + 0.008070 i$	$0.97423 + 0.025160 i$	$0.93254 + 0.0047655 i$
	$K(1)$	$0.015845 + 0.00001027 i$	$0.085193 + 0.0006912 i$	$0.18261 + 0.0047160 i$	$0.28209 + 0.014415 i$
	$K(2)$	$0.003340 + 0.00000216 i$	$0.018505 + 0.00015014 i$	$0.04165 + 0.001076 i$	$0.068533 + 0.0033502 i$
	$K(3)$	$0.001332 + 0.000000863 i$	$0.007408 + 0.0000601 i$	$0.016798 + 0.000434 i$	$0.027960 + 0.001429 i$
0.5	$K(0)$	$0.99988 + 0.0012028 i$	$0.99625 + 0.014753 i$	$0.98099 + 0.045297 i$	$0.94863 + 0.085124 i$
	$K(1)$	$0.01075 + 0.00001293 i$	$0.057196 + 0.0008470 i$	$0.12129 + 0.005600 i$	$0.18614 + 0.016703 i$
	$K(2)$	$0.002595 + 0.00000312 i$	$0.014170 + 0.0002098 i$	$0.031376 + 0.001449 i$	$0.051004 + 0.004577 i$
	$K(3)$	$0.001151 + 0.00000138 i$	$0.006299 + 0.0000933 i$	$0.014011 + 0.000647 i$	$0.022973 + 0.002061 i$
1.0	$K(0)$	$0.99988 + 0.001246 i$	$0.99637 + 0.015265 i$	$0.98149 + 0.046822 i$	$0.94978 + 0.087946 i$
	$K(1)$	$0.010321 + 0.00001286 i$	$0.05487 + 0.0008407 i$	$0.11627 + 0.005547 i$	$0.17835 + 0.01615 i$
	$K(2)$	$0.002589 + 0.00000323 i$	$0.014124 + 0.0002164 i$	$0.031238 + 0.001490 i$	$0.050735 + 0.004698 i$
	$K(3)$	$0.001151 + 0.000000143 i$	$0.006288 + 0.0000963 i$	$0.013969 + 0.000666 i$	$0.022879 + 0.0021185 i$

図-2 Pressure Distribution to Plate



$$\frac{1}{N_n} \cdot \frac{1}{1 - \left( \frac{n\pi}{k_nh} \right)^2} \rightarrow 1$$

で有限値に止まるから  $x > l$  では式 (28) の級数収束には影響しない。

つぎに式(24)の解  $K(r)$  を上記の  $\sigma^2 h/g$  と  $l/h = 0.1, 0.5, 1.0$  の場合について示すと表-2 のようである。

図-2 は上の結果を用い、 $l/h=1.0$  の場合について、式(34)により揚圧力の分布を計算したもので、波の周波数が大きいほど水平板前端における揚圧力は大きく、周波数が小さくなるとともに一様分布に近づく。図は  $P_u/2 \rho g \cdot a \cdot N$  の絶対値を示したものであるから、この振幅をもって圧力は正および負(大気圧以下)の値を取る。図-3 は同じく  $l/h=1$  の場合に対する鉛直面への圧力分布を示したもので、実際にはこのほかに静水圧が作用

図-3 Vertical Distribution of Pressure at Wall

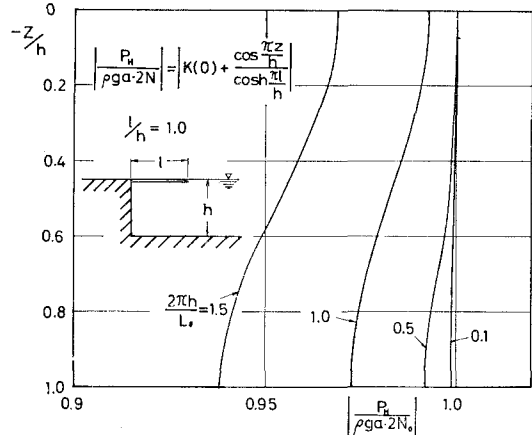
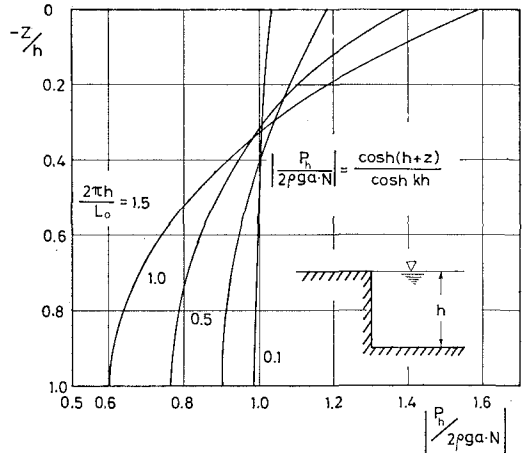


図-4 Pressure Distribution for Vertical Wall

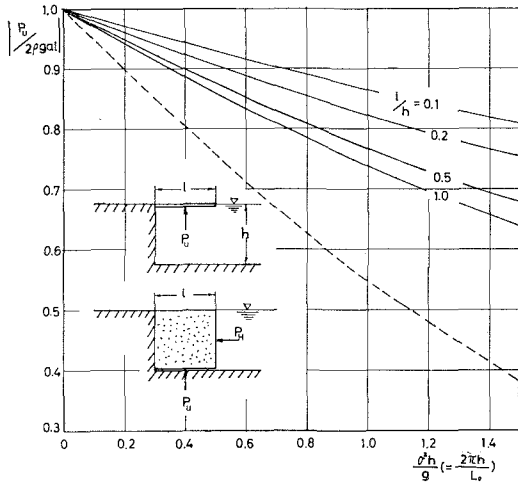


することになる。前と同様に周波数の小さい波程分布は一様となる。水平板がない場合の圧力分布は直立壁に対する重複波压となり、静水压を除外すれば

$$p = 2 \rho g a \cdot \frac{\cosh(z+h)}{\cosh kh} \cdot \sin \sigma t \dots \dots \dots \quad (38)$$

したがって

図-5 Averaged Uplift to Plate



$$\left| \frac{P}{2\rho gal} \right| = \frac{\cosh k(z+h)}{N \cdot \cosh kh} \quad \dots \dots \dots (39)$$

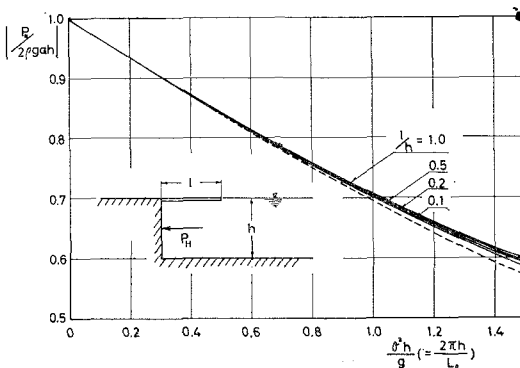
である。参考のためこれを図示すると図-4 のようである。

図-3 と比較すると水平板がある場合には、一般の鉛直壁にくらべて圧力は著しく平均化されることがわかる。図-5 は式(35)から計算した  $|P_u/2\rho gal|$  すなわち単位の入射波高により単位面積の水平板に作用する平均圧力強度を示したもので、 $l/h$  が大きいほど、また周波数が大きいほど圧力強度は小さいことがわかる。図中の破線は水平板の代りにブロックが置かれた場合、その底面に一様な揚圧力が作用すると仮定したときの値を示したもので、式(38)からこの値は

$$\left| \frac{P_u}{2\rho gal} \right| = \frac{1}{\cosh kh}$$

である。いいかえればこれは水平板が水底にある場合とも考えられる。したがって水面にある場合が当然大きな圧力をうけることになる。なおこの図で  $l/h$  が大きいほど破線の値に近いことは、水平板が長くなるとともに水面での揚圧力は水底の値に近づき、水平板の下の圧力が一様化されることを意味している。図-6 は式(37)に

図-6 Averaged Horizontal Pressure at Wall

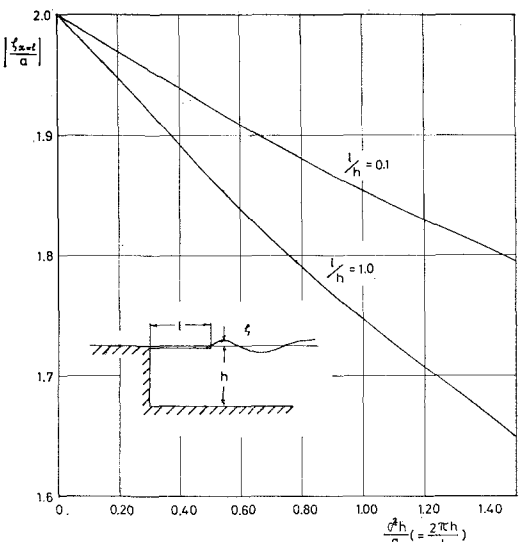


よる  $|P_h/2\rho gal|$  を示したもので、単位の入射波高による、鉛直壁の単位面積に対する平均圧力強度である。これは  $l/h$  による変化は小さいが  $l/h$  が大きいほど小さくなる傾向にある。破線は水平板のない鉛直壁に対するもので  $l/h$  が小さいほど破線の値に近づく様子がわかる。したがって水平板を設けると、平均圧力強度は余り変わらないが、その鉛直分布が均一化されることになる。

なお図-5 と図-6 をくらべると  $l/h$  が大きくなると  $|P_u/2\rho gal|$  の値と  $|P_h/2\rho gal|$  の値は接近してくることがわかる。すなわち水平板部分に対しても鉛直壁面に対しても平均圧力強度は  $l/h$  が大きいほど等しい値に近づき、水平板によって圧力は一様化されることを示している。

つぎに式(38)によって水平板の前端  $x=l$  における水面変動を  $n=3, r=3$  までについて計算すると図-7 のようになる。 $l/h=0.1$  と  $1.0$  についてだけ示しているが、水平板のない直立壁面では  $|\zeta/a|=2$  となるのにくらべると水面変動は小さく、水平板が長いほどまた周波数の大きい波ほどその傾向が著しくなることが予想される(ただし  $x=l$  においては  $\partial\zeta/\partial x \rightarrow \infty$  となるので、この計算値は必ずしも正しくはない)。

図-7 Surface Elevation at End of Plate



以上のようにすべての圧力現象が水平板の効果によって一様化されることが予想されるが、水平板の長さが長くなるといいかほどでも効果が大きくなるというものではない。それは  $K(r)$  を決める式(24)において  $l/h$  の効果は  $\tanh(\pi l h / r)$  の形で入っており、これは  $l/h$  とともに 1 に漸近し  $l/h > 1$  では式(24)はほとんど  $l/h$  に関係しなくなるからである。

## 6. 実験

上記の理論に基づく圧力分布を調べるために、幅

100 cm, 深さ 60 cm, 長さ 20 m の造波水路内に図-8 に示すような模型岸壁を設けフランプ型造波装置による波を当て、図-8 の 1, 2, 3, 4 に圧力計を取りつけて圧力分布の概略を測定した。その様子は写真-1 に示すようである。測定結果の一例は表-3 に示すようである。実験では入射波高の測定値が、波の反射のため正確を欠く点があつて理論値(図-2 および 3)との一致は必ずしも十分でないが、傾向は正しい。

表-3 圧力分布の測定例

$T'(\text{scc})$	$a(\text{cm})$	$2\pi h/L_0$	gange No.	$p(\text{gr/cm}^2)$	$N$	$p/2N\rho ga$
1.000	1.71	1.41	1	2.25	0.641	1.03
			2	2.09		0.955
			3	1.65		0.755
			4	1.72		0.787
1.197	1.21	0.985	1	1.89	0.723	1.08
			2	1.60		0.914
			3	1.65		0.942
			4	1.67		0.954
1.405	1.42	0.720	1	2.41	0.786	1.08
			2	2.07		0.929
			3	2.25		0.992
			4	2.11		0.948
1.700	1.56	0.49	1	2.59	0.848	0.978
			2	2.87		1.08
			3	2.45		0.924
			4	2.45		0.924
2.400	1.47	0.245	1	3.19	0.921	1.18
			2	2.52		1.075
			3	2.90		1.07
			4	—		—

図-8 Dimensions of Model Wall

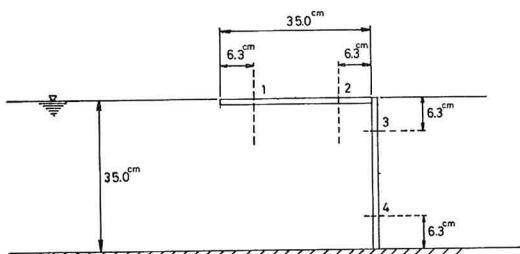
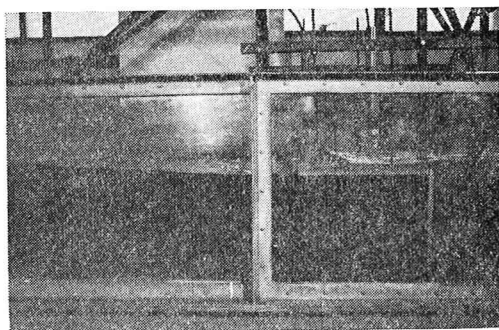


写真-1



## 7. 水平板の下部にブロックを填充した場合

上述の理論と実験は、水平板の下部領域が全く流体で満たされている場合であるが、捨石やブロックを填充すると、流体運動に対して抵抗を与えることになる。この抵抗は流速の平方に比例する項と加速度に比例する項とで表わされると考えられるが、取扱いをかんたんにするために流速に比例する抵抗が作用するものと仮定する。単位体積の流体に作用する抵抗を  $\rho\mu u$  ( $u$  は流速) とすると、領域 (II) における流体の運動方程式と連続方程式は次式のようになる。

$$\left. \begin{aligned} \frac{\partial u}{\partial t} &= -\frac{1}{\rho} \frac{\partial p}{\partial x} - \mu u \\ \frac{\partial w}{\partial t} &= -\frac{1}{\rho} \frac{\partial p}{\partial z} - \mu w - g \\ \frac{\partial u}{\partial x} + \frac{\partial w}{\partial z} &= 0 \end{aligned} \right\} \quad (40)$$

するとこの場合にも速度ポテンシャル  $\phi_2'$  が存在し、運動方程式の積分として次式が得られる。

$$\frac{p}{\rho} = -\frac{\partial \phi_2'}{\partial t} - \mu \phi_2' - gz \quad (41)$$

連続の式は、 $\phi_2'$  に対して式 (1) の Laplace の式が成立立つ。

境界条件は前と全く同様と考えることができるから領域 (I), (II) に対する速度ポテンシャル  $\phi_1, \phi_2'$  の形は式 (8) および (4) と全く同じである。ゆえに条件式 (12) に式 (41) を考慮すると  $K(r)$  に対する連立方程式 (24) はつぎのようになる。

$$\sum_{r=0}^{\infty} \frac{1-i\left(\frac{\mu}{\sigma} + \frac{r\pi}{kh} \tanh \frac{r\pi l}{h}\right)}{1+\left(\frac{r\pi}{kh}\right)^2} \cdot K'(r) = 1$$

$$\sum_{r=0}^{\infty} \frac{1+i\frac{r\pi}{kh} \tanh \frac{r\pi l}{h} - i\frac{\mu}{\sigma}}{1-\left(\frac{r\pi}{kh}\right)^2} \cdot K'(r) = 0 \quad (n=1, 2, 3, \dots) \quad (42)$$

この  $K'(r)$  を用いて

$$B = A \cdot e^{ikl} \sum_{r=0}^{\infty} \frac{1-i\left(\frac{\mu}{\sigma} - \frac{r\pi}{kh} \tanh \frac{r\pi l}{h}\right)}{1+\left(\frac{r\pi}{kh}\right)^2} \cdot K'(r) \quad (43)$$

$$C_n = 2A \cdot e^{(ik+k_n)l} \cdot \frac{N}{N_n} \cdot \left(1-i\frac{\mu}{\sigma}\right) \sum_{r=0}^{\infty} \frac{K'(r)}{1-\left(\frac{r\pi}{kh}\right)^2} \quad (43)$$

$$D_r = 2A \cdot N \cdot e^{ikl} \cdot \frac{K'(r)}{\cosh \frac{r\pi l}{h}} \quad (44)$$

$$\phi_1(x, z; t) = Ae^{ikt} \left[ \left\{ e^{ikx} + e^{-ik(x-2l)} \right\} \right]$$

$$\begin{aligned} & \cdot \sum_{r=0}^{\infty} \frac{1-i\left(\frac{\mu}{\sigma}-\frac{r\pi}{kh} \tanh \frac{r\pi l}{h}\right)}{1+\left(\frac{r\pi}{kh}\right)^2} \cdot K'(r) \Bigg\} \\ & \cdot \frac{\cosh k(z+h)}{\cosh kh} + 2N\left(1-i\frac{\mu}{\sigma}\right)e^{ikl} \\ & \cdot \sum_{n=1}^{\infty} \sum_{r=0}^{\infty} \frac{K'(r)}{1-\left(\frac{r\pi}{knh}\right)^2} \cdot \frac{e^{-k_n(x-l)}}{N_n} \cdot \frac{\cos k_n(z+h)}{\cos k_n h} \end{aligned} \quad \dots \dots \dots (45)$$

$$\phi_2'(x, z; t) = 2A \cdot N \cdot e^{i(kl+\sigma t)}$$

$$\cdot \sum_{r=0}^{\infty} \frac{K'(r)}{\cosh \frac{r\pi l}{h}} \cdot \cosh \frac{r\pi x}{h} \cdot \cos \frac{r\pi z}{h} \quad \dots \dots \dots (46)$$

静水圧を除いた、領域(II)の圧力  $p$  は式(41)から

$$\begin{aligned} p &= -2iN \cdot \rho g a \cdot \left(1-i\frac{\mu}{\sigma}\right) \cdot e^{i(kl+\sigma t)} \\ &\cdot \sum_{r=0}^{\infty} \frac{K'(r)}{\cosh \frac{r\pi l}{h}} \cdot \cosh \frac{r\pi x}{h} \cdot \cos \frac{r\pi z}{h} \end{aligned} \quad \dots \dots \dots (47)$$

以上の結果から、反射率、波压等はつぎのようになる。

### (1) 反射率 $K_r$

式(43)から

$$K_r = \left| \frac{B}{A} \right| = \left| \sum_{r=0}^{\infty} \frac{1-i\left(\frac{\mu}{\sigma}-\frac{r\pi}{kh} \tanh \frac{r\pi l}{h}\right)}{1+\left(\frac{r\pi}{kh}\right)^2} \cdot K'(r) \right| \quad \dots \dots \dots (48)$$

### (2) 水平板に対する平均揚圧強度

式(35)に対応して

$$\begin{aligned} \left| \frac{P_u}{2\rho gal} \right| &= N \sqrt{1+\left(\frac{\mu}{\sigma}\right)^2} \\ &\cdot \left| K'(0) + \sum_{r=1}^{\infty} \frac{hK'(r)}{r\pi l} \tanh \frac{r\pi l}{h} \right| \end{aligned} \quad \dots \dots \dots (49)$$

### (3) 鉛直壁面に対する平均波压強度

式(37)に対応して

$$\left| \frac{P_H}{2\rho gah} \right| = N \sqrt{1+\left(\frac{\mu}{\sigma}\right)^2} \cdot |K'(0)| \quad \dots \dots \dots (50)$$

### (4) 水平板前端における水面変動

式(38)に対応して

表-4  $\sigma^2 h/g$  と  $\mu/\sigma$  に対する  $K'(r)$  の値 ( $l/h=0.5$ )

$$\begin{aligned} \left| \frac{\zeta_{x=l}}{a} \right| &= \left| 1 + \sum_{r=0}^{\infty} \frac{1-i\left(\frac{\mu}{\sigma}-\frac{r\pi}{kh} \tanh \frac{r\pi l}{h}\right)}{1+\left(\frac{r\pi}{kh}\right)^2} \cdot K'(r) \right| \\ &+ 2N\left(1-i\frac{\mu}{\sigma}\right) \sum_{r=0}^{\infty} \sum_{n=1}^{\infty} \frac{K'(r)}{N_n \left\{ 1 - \left( \frac{r\pi}{knh} \right)^2 \right\}} \end{aligned} \quad \dots \dots \dots (51)$$

例として  $\sigma^2 h/g=0.1$  および 1.0 の場合、 $l/h=0.5$  として、種々の  $\mu/\sigma$  に対する式(42)の解  $K'(r)$  を示すと表-4 のようである。

式(48)により  $l/h=0.5$  に対し、種々の  $\mu/\sigma$  に対す

図-9 Reflection Coefficient by Wall with Fluid Resistance

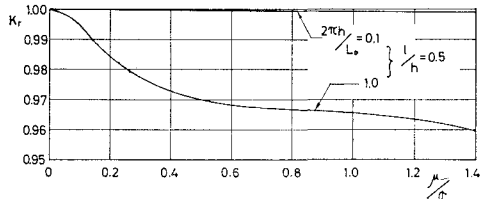
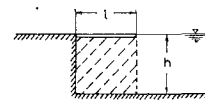
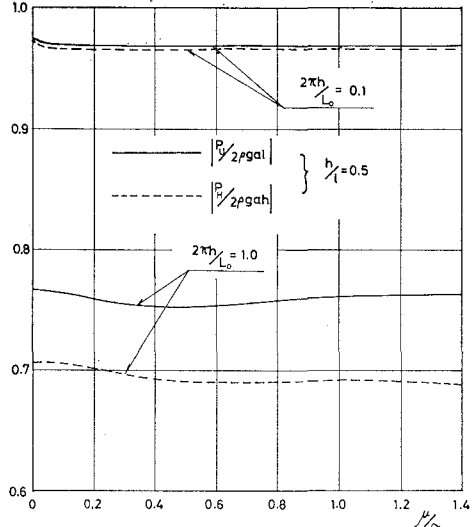


図-10 Average Horizontal and Vertical Pressure to Wall with Fluid Resistance



$\sigma^2 h/g$	$\mu/\sigma$	0.1	0.5	1.0	1.4
0.1	$K'(0)$	$0.98983 + 0.10004 i$	$0.79927 + 0.40070 i$	$0.49928 + 0.5002 i$	$0.33724 + 0.47292 i$
	$K'(1)$	$0.0099541 + 0.0005270 i$	$0.009348 + 0.002435 i$	$0.007858 + 0.004085 i$	$0.006528 + 0.00475 i$
	$K'(2)$	$0.0025988 + 0.0001321 i$	$0.002452 + 0.0006126 i$	$0.002087 + 0.001049 i$	$0.001753 + 0.001223 i$
	$K'(3)$	$-0.001100 - 0.00005659 i$	$-0.001049 - 0.0002486 i$	$-0.000878 - 0.000444 i$	$-0.000735 - 0.000520 i$
1.0	$K'(1)$	$0.96439 + 0.14092 i$	$0.74819 + 0.42323 i$	$0.46063 + 0.50053 i$	$0.30633 + 0.40442 i$
	$K'(2)$	$0.12216 + 0.011476 i$	$0.11348 + 0.033288 i$	$0.09516 + 0.05170 i$	$0.07951 + 0.05897 i$
	$K'(3)$	$0.03269 + 0.002972 i$	$0.030592 + 0.008506 i$	$0.02613 + 0.01336 i$	$0.02215 + 0.01548 i$
	$K'(4)$	$-0.00792 - 0.000824 i$	$-0.006999 - 0.002670 i$	$-0.00568 - 0.003713 i$	$-0.00447 - 0.004067 i$

る  $K_r$  を計算した結果を示すと図-9 のようである。また式(49),(50)による平均圧力強度を計算すると図-10 のようである。これらの結果によると  $\mu/\alpha$  による反射率あるいは波圧力の低下は著しいものではなく、とくに波圧強度においては、2~3% 程度以下である。このことは、領域(II)における流体の流速が、領域(I)における流速の約  $1/K(1)$  の程度できわめて小さいこと、および流速の一乗に比例する抵抗を仮定したことによると考えられるが、最も大きな原因是波のエネルギー損失が碎けによるものでなく、もっぱら水中における摩擦損失によるとしたことによるもので、すべての波浪現象において碎波による以外のエネルギー損失がきわめて小さいことを考えれば容易に首肯される。したがってこの種の直立岸壁においては、水位が水平板の高さをこえるようになると消波の機能は著しく低下することになる。いいかえるならば水面が水平板以下によって、捨石あるいはブロックの間げきを水が流動する場合の水面付近で起こる碎けの効果が消波に対して最も有効な作用をなすものであるが、岸壁が完全に水中に没するような高水位の場合にはこの効果が利かなくなることによるものである。この事実は文献 3) の実験によって確認されている。

## 8. 結 論

直立消波岸壁の性質を調べる第 1 段階として、水平板をもつ岸壁に対する波の作用を理論的および実験的に考察した結果つぎのことが推定される。

(1) 水平板の効果は、そのない直立壁の場合にくらべると、波圧を壁面に沿って均一化する作用をもつほかに圧力の合力自体を水平方向にも鉛直方向にも均一化する効果をもっている。

(2) 水平板前端の水面変動も、直立壁におけるより小さくしたがって越波が少なくなることが予想される。

(3) 水平板の下部を捨石等で填充し、波のエネルギーを吸収し、反射率あるいは波圧を低減することは理論的に可能であるが、単なる流体摩擦だけの効果はきわめて小さく水面付近での波と捨石との衝突による碎波の効果を十分に活用しなければならない。

上記の理論および実験は微小振幅波を仮定しており、また水位は常に水平板の面と一致させている。水位がこれよりも高い場合は波の振幅がかなり大きても類似の結果が実験的に確認される。しかし水位が水平板面より多少低いか、あるいは波の振幅が大きくなると、水平板の下部に空気の混入が起り、圧力変動は次第に衝撃的となってくる。桟橋に対する衝撃揚圧力はその例である。これに対しては水平板をもたないブロック積み岸壁としての取扱いが必要になる。

ここで取り扱ったような水平板の効果は、これを防波堤として利用することも考えられ、すでに Stoker (1957) の研究もあり、理論的にかなり有効と考えられ、また著者の行なった実験によても予想以上の消波効果をもつことがわかった。この研究はこれらの現象を含めて実施しているもので、防波堤に関してはつぎの機会に報告したい。

本報告の計算には、九州大学工学部水工土木学教室研究補助員湯村やす氏に負う所がきわめて大きい。厚く感謝の意を表する。

## 参 考 文 献

- 1) 井島・松尾・島田 (1967)：“特殊異型ブロックの消波効果に関する 2, 3 の模型実験”，第 22 回土木学会年次学術講演会。
- 2) 井島・松尾・塙沢 (1968)：“水平板式防波堤の消波効果に関する模型実験”，土木学会西部支部発表会。
- 3) 井島・尼崎・塙沢・小林 (1969)：“直立消波壁に関する実験的研究”，土木学会西部支部発表会。
- 4) Stoker, J.J. (1957) : "Water Waves", Interscience Publishers, New York.